



بیست و هشتمین کنفرانس اپتیک و
فوتونیک ایران و چهاردهمین کنفرانس
مهندسی و فناوری فوتونیک ایران،
دانشگاه شهید چمران اهواز،
خوزستان، ایران.
۱۴-۱۲ بهمن ۱۴۰۰



پاسخ TEC یون سپهری به طوفان‌های مغناطیسی و تابش‌های کیهانی کهکشانی

در یک چرخه خورشیدی

بنفشه تاجی*، محمدحسین معماریان، مه‌بانو فلامرزی

دانشکده فیزیک، دانشگاه یزد

b.taji@stu.yazd.ac.ir

memarian@yazd.ac.ir

Mahbanoofalamarzi@stu.yazd.ac.ir

چکیده - فعالیت‌های خورشیدی و تابش‌های کیهانی کهکشانی (GCR) باعث تغییر در رفتار یون‌سپهر و به دنبال آن وردسپهر می‌شوند. فعالیت‌های خورشیدی شامل تشعشعات خورشیدی، لکه‌های خورشیدی، بادهای خورشیدی و طوفان‌های مغناطیسی است. در این پژوهش به بررسی ارتباط بین شاخص طوفان‌های مغناطیسی Kp و تابش‌های کیهانی کهکشانی با محتوای الکترون کل یون‌سپهر (TEC)، که با استفاده از داده‌های GPS در مقیاس جهانی برای سال‌های ۲۰۱۵، ۲۰۱۶ و ۲۰۱۷ به دست آمده، پرداخته شده است. با مقایسه این پارامترها مشاهده می‌شود که شاخص طوفان‌های مغناطیسی Kp با TEC رابطه مستقیم، در حالی که با تابش‌های کیهانی کهکشانی رابطه عکس دارند. مقایسه این پارامترها نشان می‌دهد که TEC با شاخص طوفان‌های مغناطیسی Kp رابطه‌ای مستقیم و با تابش‌های کیهانی کهکشانی رابطه‌ای عکس دارد.

کلیدواژه- تابش‌های کیهانی کهکشانی، شاخص طوفان‌های مغناطیسی، محتوای کلی الکترون.

Ionospheric TEC Response to Magnetic Storms and Galactic Cosmic Rays in a Solar Cycle

Banafsheh Taji*, Mohammad Hossein Memarian, Mahbano Falamarzi

Faculty of Physics, Yazd University

b.taji@stu.yazd.ac.ir

memarian@yazd.ac.ir

Mahbanoofalamarzi@stu.yazd.ac.ir

Abstract- Solar activity and galactic cosmic rays (GCR) change the behavior of the ionosphere and subsequently the troposphere. Solar activities include solar radiation, sunspots, solar winds, and magnetic storms. This study investigates the relationship between Kp magnetic storm index and galactic cosmic rays with total ionosphere electron content (TEC), obtained using global GPS data for 2015, 2016 and 2017. Comparing these parameters, it can be seen that the Kp magnetic storm index is directly related to TEC, while it is inversely related to galactic cosmic rays. Comparison of these parameters shows that TEC is directly related to the Kp magnetic storm index and inversely related to galactic cosmic radiation.

Keywords-Total electron content, Index of magnetic storms, Galactic cosmic rays.

متفاوت هستند [۴]. یون سپهر نسبت به سیگنال‌های سامانه موقیعت‌یابی جهانی، یک محیط پراکنده است یعنی امواج با بسامدهای مختلف تأخیر و تقدم فازهای متفاوتی دارند. میزان این تأخیر، وابسته به مقدار محتوای کلی الکترونی لایه یون سپهری TEC است که با زمان تغییر می‌کند. محتوای چگالی الکترون یک مقدار توصیفی مهم برای یون سپهر است [۵]. TEC مجموعه الکترون‌های موجود در استوانه‌ای با سطح مقطع یک مترمربع است که در مسیر ماهواره تا گیرنده محاسبه می‌شود. TEC در تعیین تأخیر فاز امواج رادیویی اهمیت زیادی دارد و به شدت تحت تأثیر فعالیت خورشیدی می‌باشد.

محتوای کلی الکترون یکی از پارامترهای یون سپهری است که زیاد مورد استفاده قرار می‌گیرد و مقدار آن برابر است با تعداد الکترون‌هایی که در یک ستون با مقطع عرضی یک متر مربع، که از زمین به سمت بالا و از میان یون سپهر عبور می‌کند، و از رابطه زیر به دست می‌آید که در آن N_e نشان دهنده توزیع چگالی الکترون و واحد آن TECU است.

$$TEC = \int N_e ds \quad (1)$$

$$1 TECU = 10^{16} e/m^2 \text{ می‌باشد.}$$

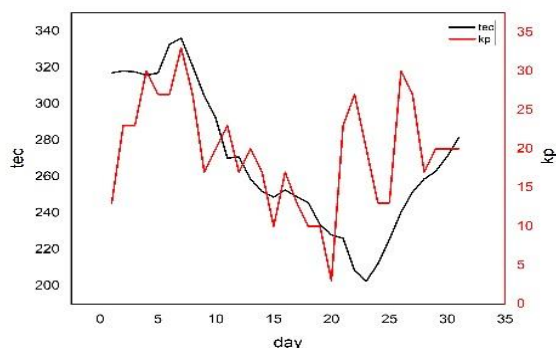
TEC به تنهایی قادر به توصیف کامل یونیزاسیون در یون سپهر نیست اما می‌توان برای کاربردهای خاص انتشار امواج رادیویی از آن استفاده کرد. کاربران تک بسامده سامانه تعیین موقیعت جهانی (GPS)، می‌توانند مشاهدات TEC را برای تصحیح سیگنال

مقدمه

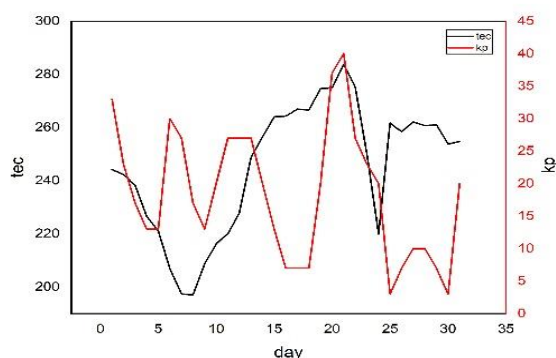
امروزه، یکی از مسائل اساسی تعیین نقش و تأثیر فعالیت‌های خورشیدی بر تغییرات اقلیمی می‌باشد. فعالیت‌های خورشیدی شامل تشعشعات خورشیدی، لکه‌های خورشیدی، بادهای خورشیدی و طوفان‌های مغناطیسی است [۱]. تابش‌های کیهانی، ذراتی با انرژی بالا و دارای سرعتی نزدیک به سرعت نور می‌باشند که اثر عمیقی روی فرایندهای جو می‌گذارند. تابش‌های کیهانی یکی دیگر از عوامل تأثیرگذار بر تغییرات اقلیم می‌باشد که بر تشکیل ابرها تأثیر گذاشته و از این طریق انرژی ورودی خورشید به زمین را کنترل می‌کند [۲]. امروزه تمام چالش‌ها در راستای کاهش سهم عوامل خارجی است که بر روی سامانه اقلیم و وضع هوا تأثیر می‌گذارند. جو فوقانی زمین تابش خورشیدی را جذب می‌کند، که منجر به گرم شدن و یونیزاسیون می‌شود و یون سپهر، حاصل از یونیزاسیون فوق فرابنفش (XUV) خورشیدی است. یون سپهر لایه پلاسمایی اطراف جو زمین است که حدوداً ارتفاع ۸۰-۱۰۰۰ کیلومتری را به خود اختصاص می‌دهد. یون سپهر لایه‌ای ساده و بدون تغییر نیست؛ بلکه به‌طور پیوسته تحت تأثیر خورشید و طوفان‌های خورشیدی، میدان مغناطیسی زمین، طوفان‌های سطح زمین و گردش گرم‌سپهری قرار دارد [۳]. نمایه واقعی چگالی الکترون، با خواص ویژه جذب اجزای گاز جو مشخص می‌شود، که حاصل از قوانین مختلف فشارسنجی است و برای مؤلفه‌های مختلف مولکولی به شدت

نیز میزان فعالیت خورشیدی و به تبع آن تعداد لکه‌های خورشیدی بسیار کاهش یافته است. معمولاً دوره ۱۱ ساله دوم شدیدتر از دوره ۱۱ ساله اول بوده و دارای تعداد لکه‌های بیشتری است [۶].

داده‌های مربوط به تابش‌های کیهانی کهکشانی، به صورت میانگین روزانه از سایت OULU بدست آمده است.



شکل ۱: مقایسه شاخص Kp و TEC در ماه ژانویه ۲۰۱۵



شکل ۲: مقایسه شاخص Kp و TEC در ماه ژانویه ۲۰۱۶

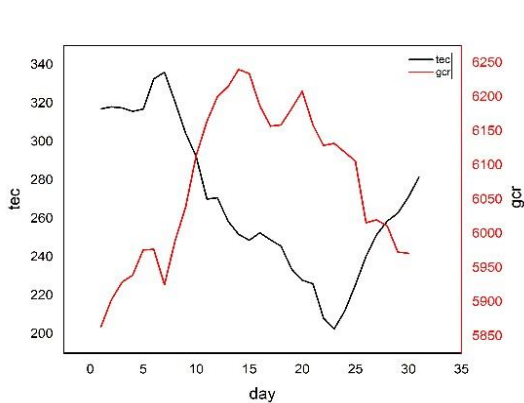
به کار گیرند، چون که TEC متناسب با تأخیر سیگنال رادیویی در یون‌سپهر است [۶].

روش تحقیق

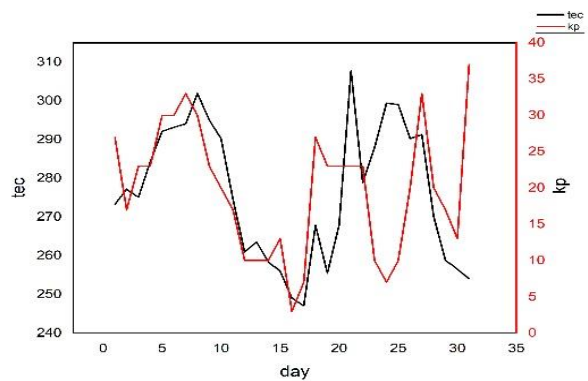
در این پژوهش به مقایسه طوفان‌های مغناطیسی و تابش‌های کیهانی کهکشانی با محتوای کلی الکترون یون‌سپهر، به دلیل شرایط آرام و نبود طوفان‌های مغناطیسی شدید در ماه ژانویه سال‌های ۲۰۱۷-۲۰۱۵ پرداخته شده است. داده‌های مربوط به TEC از سایت GNSS-TEC استخراج و از میانگین روزانه آن در این پژوهش استفاده شده است.

داده‌های مربوط به Kp نیز به صورت میانگین روزانه از سایت omniweb بدست آمده است.

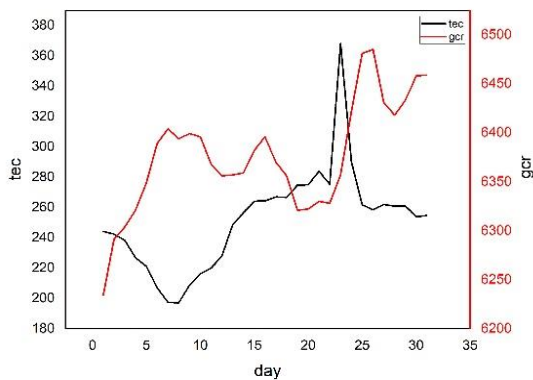
شاخص صحیح سه ساعته K به عنوان اندازه‌ای از دامنه بی‌نظمی و سرعت فعالیت مغناطیسی زمان طوفان مغناطیسی معرفی می‌شود. شاخص Kp به عنوان یک شاخص سیاره‌ای معرفی شده است و با میانگین‌گیری از شاخص K حاصل از ۱۳ رصدخانه تحت عرض‌های شفق قطبی به دست می‌آید. فعالیت‌های مغناطیسی مقیاس سیاره‌ای به وسیله شاخص Kp اندازه‌گیری می‌شود. مقادیر Kp بیشتر از ۴ نشان‌دهنده وقوع طوفان ژئومغناطیسی است که وابسته به مقدار آن، درجه فعالیت طوفان نیز متفاوت خواهد بود در این پژوهش همه مقادیر Kp در عدد ۱۰ ضرب شده است. تابش‌های خورشیدی در یک دوره ۲۲ ساله (دو دوره ۱۱ ساله خورشیدی) در نظر گرفته شده است. در برخی از دوره‌ها فعالیت‌های خورشیدی شدیدتر، در برخی دیگر در مقایسه با سایرین این فعالیت‌ها طولانی‌تر و در برخی دوره‌ها



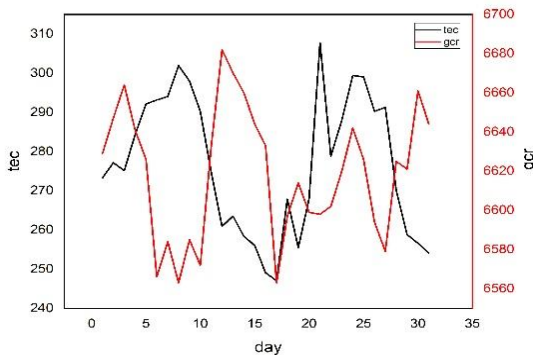
شکل ۴: مقایسه TEC و GCR در ماه ژانویه ۲۰۱۵



شکل ۳: مقایسه شاخص TEC و kp در ماه ژانویه ۲۰۱۷



شکل ۵: مقایسه TEC و GCR در ماه ژانویه ۲۰۱۶



بحث و نتیجه‌گیری

متداول‌ترین شاخص‌هایی که برای اندازه‌گیری فعالیت‌های خورشیدی استفاده می‌شوند، شاخص طوفان‌های مغناطیسی kp هستند. نتایج مقایسه شاخص طوفان‌های مغناطیسی با محتوای کلی الکترون در ماه ژانویه سال‌های

۲۰۱۵، ۲۰۱۶ و ۲۰۱۷ به ترتیب در شکل‌های ۱، ۲ و ۳ نشان داده شده است. در هر سه شکل محورهای سمت راست نشان دهنده شاخص kp و محورهای سمت چپ مربوط به شاخص TEC می‌باشد که به ترتیب با رنگ‌های

قرمز و مشکی مشخص شده است. همچنین در شکل‌های ۴، ۵ و ۶ به مقایسه تابش‌های کیهانی کهکشانی و محتوای کلی الکترون در همان زمان یعنی ماه ژانویه سال‌های ۲۰۱۵، ۲۰۱۶ و ۲۰۱۷ پرداخته شده است که محورهای سمت راست مربوط به GCR و محورهای سمت چپ مربوط به TEC می‌باشد و به ترتیب با رنگ‌های قرمز و مشکی نشان داده شده‌اند.

نتایج نشان می‌دهد که شاخص‌های خورشیدی با محتوای کلی الکترون رابطه مستقیم و با تابش‌های کیهانی کهکشانی رابطه عکس دارد. شکل‌های ۱، ۲ و ۳ نشان‌دهنده ارتباطی مستقیم بین شاخص kp با

[۳] Avakyan, S.V., 2013. The role of solar activity in global warming. *Herald of the Russian Academy of Sciences*, 83(3), pp.275-285

[۴] rikan F., Erol C.B., Arikan O., "Regularized estimation of vertical total electron content from Global Positioning System data," *Journal of Geophysical Research: Space Physics*, 108(A12), ۲۰۰۳, doi: 10.1029/2002JA009605..

[۵] Misra, P., Enge, P., *Global Positioning System Signals, Measurements, and Performance. United States of America, 2012*

[۶], Arikan F., Arikan O., Ugurlu O., Sadeghimorad A., "Online, automatic, near-real time estimation of GPS-TEC: IONOLABTEC," *Space Weather*, 11(5), ۲۹۷-۳۰۵, ۲۰۱۳, doi: 10.1002/swe.20054.

محتوای کلی الکترون می باشد که دارای میانگین ضریب همبستگی ۰/۴۶ می باشند. و این در حالی است که مقایسه نمودارهای موجود در شکل های ۴، ۵ و ۶ رابطه ای غیر مستقیم بین تابش های کیهانی کهکشانی و TEC را با ضریب همبستگی ۰/۷۹- نشان می دهند. در این مقاله به صورت میانگین این مقایسه انجام شده است.

مرجع ها

[۷] Labitzke, K., 2005. On the solar cycle-QBO relationship: a summary. *Journal of Atmospheric and Solar-Terrestrial Physics*, 67(1-2), pp.45-54

[۸] Ahluwalia, H.S., 2017. Galactic cosmic rays, TSI, sunspots, and Earth surface air temperature. *Indian Journal of Radio & Space Physics (IJRSP)*, ۴۳(۲), pp.141-150.